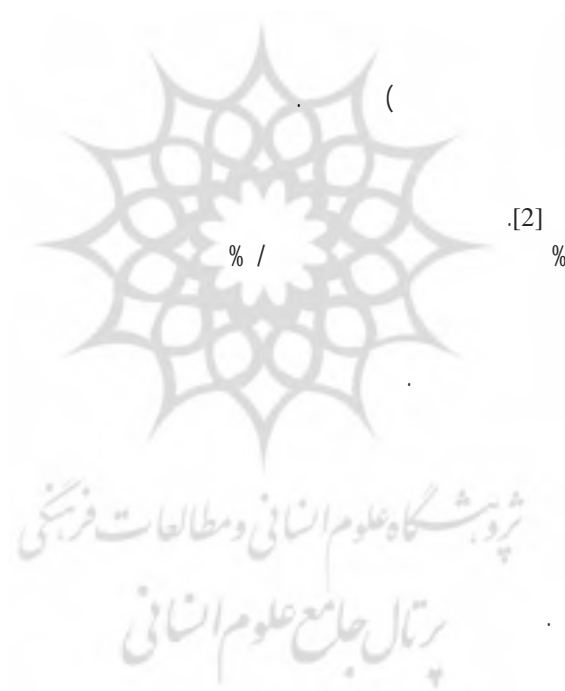


پروپوزیشن گاه علوم انسانی و مطالعات فرهنگی  
پرتال جامع علوم انسانی

[1].



[2]

%

[3]

STEP

[4]

(Daneshyar)

: [5]

$$Q = 1.432 + 2.107(90 - \theta_z) + 121.3CF + 950[1 - \exp(-0.75(90 - \theta_z))](1 - CF) \cos \theta_z \quad ( )$$

CF  
[5]

$\frac{W}{m^2}$

Q

$$CF = 1 - \frac{\bar{n}}{N}$$

CF

$\frac{\bar{n}}{N}$   
 $\theta_z$

$$\cos(\theta_z) = \sin \delta \cdot \sin \phi + \cos \delta \cdot \cos \phi \cdot \cos \omega \quad ( )$$

$\omega$

$\delta$

$\phi$

$$\delta = 23.45 \times \sin \left( \frac{360}{365} \times (284 + N) \right) \quad ( )$$

$$\omega = 15 \times (t - 12) \quad ( )$$

$$t = N \quad ( )$$

(Ashjaee)

[6] Bird & Hultulstrom

Bird & Hultulstrom

[7]

$$Q = \frac{0.9662 I_0 (T_M - a_w) + I_0 \cos \theta_0 \cdot 0.79 T_0 T_w T_{UM} T_{AA} \times [0.5(1 - T_R) + B_a(1 - T_{AS})]}{1 - m + m^{1.02}} \quad ( )$$

$$U_w = \left( \frac{1367 \frac{W}{m^2}}{a_w} \right) U_w \quad ( ) \quad T_A$$

[8]

$$T_{AA} = \left( \frac{1367 \frac{W}{m^2}}{a_w} \right) T_{AA} \quad ( ) \quad T_M$$

$$B_a = \left( \frac{1367 \frac{W}{m^2}}{a_w} \right) B_a \quad ( ) \quad \theta$$

$$m = \left( \frac{1367 \frac{W}{m^2}}{a_w} \right) m \quad ( ) \quad T_w$$

$$T_A = \left( \frac{1367 \frac{W}{m^2}}{a_w} \right) T_A \quad ( ) \quad T_{UM}$$

$$T_{AS} = \left( \frac{1367 \frac{W}{m^2}}{a_w} \right) T_{AS} \quad ( ) \quad T_R$$

$$T_M = 1.041 - 0.15 \left[ m (9.368 \times 10^{-4} P + 0.051) \right]^{\frac{1}{2}} \quad ( )$$

$$\frac{P}{P_o} = \exp \left[ \frac{h}{1000} (-0.0174 - 0.0000017h) \right] \quad ( )$$

$$T_A = \exp \left[ -\tau_A^{0.873} (1 + \tau_4 - \tau_A^{0.7088}) m^{0.9108} \right] \quad ( )$$

$$\tau_A = 0.2758 \times \tau_A (0.38 \mu m) + 0.35 \times \tau_A (0.5 \mu m) \quad ( )$$

$$\tau_A = (0.38 \mu m) = 0.35, \quad \tau_A = (0.5 \mu m) = 0.27$$

$$a_w = 2.4959 U_w m \left[ (1 + 79.03 U_w m)^{0.6824} + 6.385 U_w m \right]^{-1} \quad ( )$$

$$T_w = 1 - a_w \quad ( )$$

$$m = \left[ \frac{1}{\cos \theta + 0.15(93.885 - \theta)^{-1.253}} \right] \quad ( )$$

$$T_{UM} = \exp[-0.127 m^{0.26}] \quad ( )$$

$$T_{AA} = 1 - 0.1(1 - T_A)(1 - m + m^{1.06}) \quad ( )$$

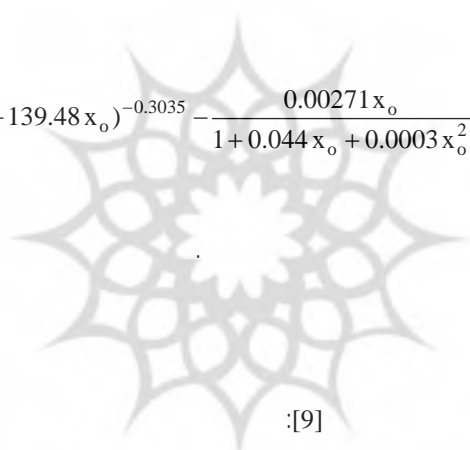
$$T_R = \exp(-0.093 m^{0.84}) \quad ( )$$

$$T_{AS} = \frac{T_A}{T_{AA}} \quad ( )$$

$$T_0 = 1 - 0.161 x_o (1 + 139.48 x_o)^{-0.3035} - \frac{0.00271 x_o}{1 + 0.044 x_o + 0.0003 x_o^2} \quad ( )$$

$$x_o = 0.35$$

$$B_a = 0.84$$



h

(Hottel)

: [9]

$$Q = (\tau_b + \tau_d) G_o \cos \theta_z \quad ( )$$

( ) ( )

$\theta_z$

$$\tau_b = a_o + a_1 \exp\left(\frac{-k}{\cos \theta_z}\right) \quad ( )$$

$$\tau_d = 0.271 + 0.2939 \tau_b \quad ( )$$

K a<sub>1</sub> a<sub>0</sub>

$$a_0 = r_0 [0.4237 - 0.0082(6 - A)^2] \quad ( )$$

$$a_1 = r_1 [0.5055 + 0.00595(6.5 - A)^2] \quad ( )$$

$$k = r_k \left[ \frac{0.271 + 0.01855(2.5 - A)^2}{1.02 \quad 0.99 \quad 0.97} \right] \quad ( )$$

$r_k \quad r_1 \quad r_0$

A

[10]

**(Goldberg)**

[11]

$$G = \frac{H_0}{2} \left[ (1 - e^{-m^*R}) + e^{-m^*(\alpha_{0.3}x+2)} + 0.1 \right] F_C$$

$\text{cm} / \text{albedo} \quad \tau \quad / \quad x \quad F_C \quad R \quad / \quad \alpha_{0.3} \quad H_0$

[12]

$$H_0 = \frac{24 \times 3600 G_{SC}}{\pi} \left[ 1 + 0.033 \cos \left( \frac{360N}{365} \right) \right] \times \left[ \cos \phi \cdot \cos \delta \cdot \sin \omega_s + \frac{2\pi\omega_s}{360} \sin \phi \cdot \sin \delta \right]$$

$\omega_s \quad ( ) \quad ( ) \quad \delta \quad N \quad \phi$

$$\cos \omega_s = -\tan \phi \cdot \tan \delta \quad ( )$$

$$m^* = 0.346 + 1.011m + 0.078m^2 \quad ( )$$

$\sec \theta_z \quad m$

**(Sabbagh)**

[13] Reddy

[14]

$$Q = 1.53 K \exp L \left( D - \frac{R^{\frac{1}{3}}}{100} - \frac{1}{t} \right) \quad \text{cal/cm}^2 / \text{day} \quad ( )$$

$$R = D k L t \quad [13]$$

$$K = (\lambda N + \psi_{i,j} \cos \phi) 10^2 \quad \text{cal/cm}^2 / \text{day} \quad ( )$$

$$\lambda = \frac{0.2}{(1 + 0.1\phi)} \quad ( )$$

$$\psi_{ij} = N \quad i=2 \quad i=1 \quad i=1,2 \quad j=1, \dots, 12 \quad \psi_{ij}$$

	June	Feb	Mar	Apr	May	June	July	Aug	Sept	Oct	Nov	Dec
$\psi_1$	1.28	1.38	1.54	1.77	2.05	2.3	2.48	2.41	2.36	1.73	1.38	1.17
$\psi_2$	1.46	1.77	2.05	2.15	2.05	2.05	2.1	2.17	2.14	1.96	1.6	1.43

(Onyango)

[15]

$$H = H_0 e^x \quad ( )$$

$$x = \phi \left( \frac{S}{z} - \frac{RH}{15} - \frac{1}{T_m} \right) \quad ( )$$

$$H_0 = (1.7 - 0.458\phi) \left( \frac{20z}{1 + 0.1\phi} + \psi \cos \phi \right) \quad ( )$$

$$T_m = S \quad RH \quad z \quad \phi \quad \psi \quad ([15]) \quad ( )$$

$\psi$

	June	Feb	Mar	Apr	May	June	July	Aug	Sept	Oct	Nov	Dec
$\psi$	1.7	1.6	0.93	0.765	0.63	0.58	0.575	0.682	0.78	0.87	0.947	1.13

: [10]

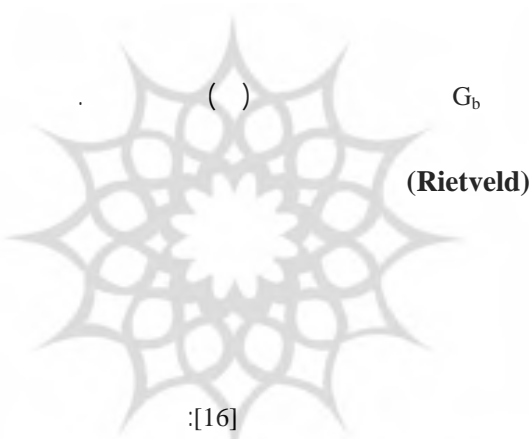
$$G = [(1 + \alpha_1)(1 - CF) + 0.55 CF] G_b \quad ( )$$

$$G_b = \tau_b G_0 \cos \theta_z \quad ( )$$

$$G = \tau_b G_0 \cos \theta_z \quad ( )$$

: [10]

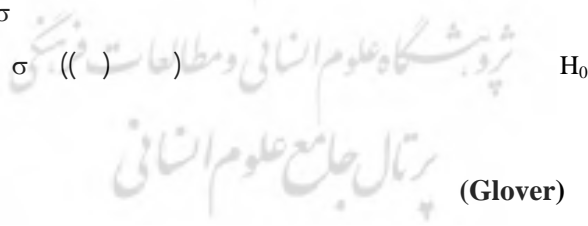
$$G = (1 + \alpha_2) G_b \quad ( )$$



(Rietveld)

: [16]

$$\frac{H}{H_0} = 0.18 + 0.62 \sigma \quad ( )$$



(Glover)

Glover

: [17]

$$\frac{\bar{H}}{H_0} = 0.27 \cos \phi + 0.54 \left( \frac{\bar{n}}{N} \right) \quad ( )$$



$$\bar{H}_0 \quad \phi \quad \left( \frac{\bar{n}}{N} \right)$$

[10]:

$$\frac{\bar{H}}{\bar{H}_0} = 0.23 + 0.54 \left( \frac{\bar{n}}{N} \right) \quad ( )$$

(Gopinathan)

[ ]:

$$\frac{\bar{H}}{\bar{H}_0} = \left[ A_0 + A_1 \cos \phi + A_2 h + A_3 \left( \frac{\bar{n}}{N} \right) \right] + \left[ B_0 + B_1 \cos \phi + B_2 h + B_3 \left( \frac{\bar{n}}{N} \right) \right] \times \frac{\bar{n}}{N} \quad ( )$$

$$A_3 \quad A_2 \quad A_1 \quad A_0 \quad \frac{\bar{n}}{N} \quad h \quad B_1 \quad B_0 \quad B_3 \quad B_2$$

[ ]:

$$\frac{\bar{H}}{\bar{H}_0} = A_0 + A_1 \cos \phi + A_2 h + B_0 \left( \frac{\bar{n}}{N} \right) + B_1 \cos \phi \left( \frac{\bar{n}}{N} \right) + B_2 h \left( \frac{\bar{n}}{N} \right) \quad ( )$$

پژوهشگاه علوم انسانی و مطالعات فرهنگی  
پرتال جامع علوم انسانی

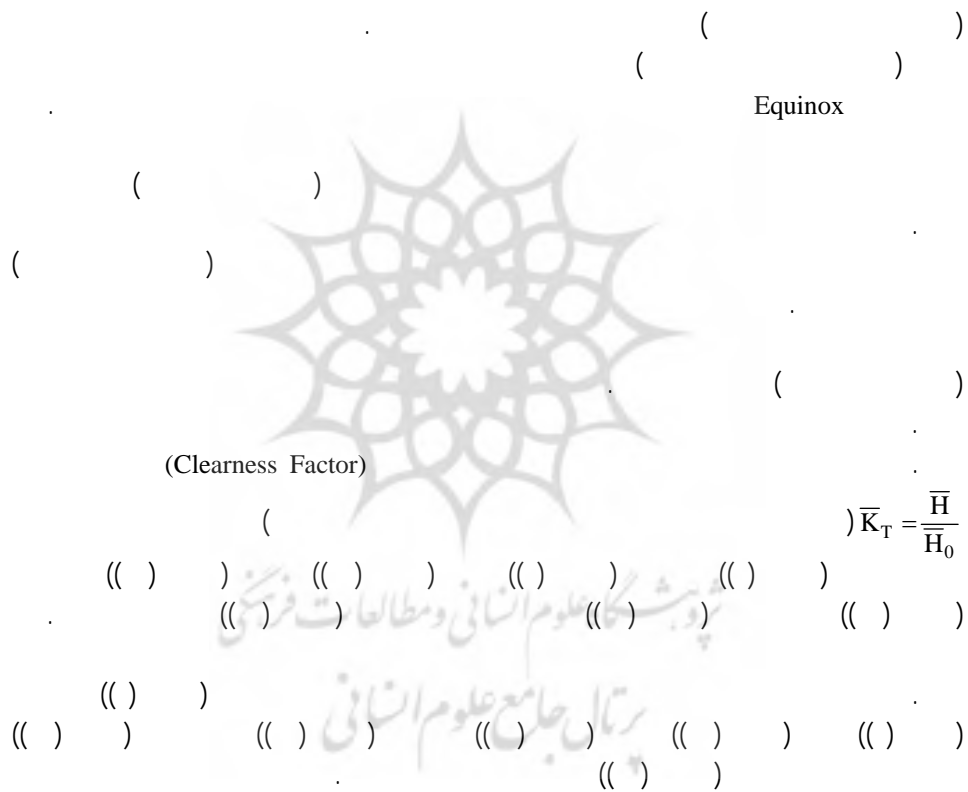
[ ]:

$$\frac{\bar{H}}{\bar{H}_0} = A_0 + A_1 \cos \phi + A_2 h + A_3 T + A_4 P \quad ( )$$

$$A_1 \quad A_0 \quad P \quad T \quad A_4 \quad A_3 \quad A_2$$

[ ]

[12]



$$\overline{K_T} = \frac{\overline{H}}{H_0}$$

جدول ۳ - اطلاعات هواشناسی میانگیری شده از اطلاعات اندازه‌گیری شده ۱۰ سال (۱۹۷۷-۱۹۸۸)  
 عرض جغرافیایی: 30° 50'  
 طول جغرافیایی: 51° 41'  
 ارتفاع از سطح دریا: 1880 متر

ماه	تعداد روزهای ماه	روز متوسط ماه	حداکثر دما (°C)	حداقل دما (°C)	متوسط دما (°C)	متوسط رطوبت نسبی	بارندگی کل ماهانه (mm)	بارندگی متوسط روزانه (mm)
ژانویه	۳۱	۱۷	۷/۷	-۲/۲۳	۲/۷	۶۷/۸۹	۷۸/۲۷	۵/۶۴
فوریه	۲۸	۱۶	۹/۶	-۱۰/۱	۴/۳	۶۸/۷۶	۶۶/۲۲	۵/۶۴
مارس	۳۱	۱۶	۱۳/۲	۲/۸	۶/۹	۸۶/۷۶	۶۶/۲۲	۱/۶
آوریل	۳۱	۱۵	۱۹/۲	۷/۰	۱۳/۱	۶۵	۶۶/۲۲	۳۵/۲
مه	۳۱	۱۵	۲۶/۵	۱۷/۰	۱۶/۷	۶۷/۳۳	۳۰/۵	۱۷/۰
ژوئن	۳۰	۱۱	۳۲/۳	۱۴/۱	۲۳/۳	۱۱/۱	۱/۱	۳۰/۰
جولای	۳۱	۱۱	۳۵/۲	۱۷/۷	۲۷/۰	۷/۷	۸۳/۰	۱۰/۰
اگوست	۳۱	۱۱	۳۴/۵	۱۷/۷	۲۶/۶	۸/۶	۳۴/۰	۱۰/۰
سپتامبر	۳۰	۱۵	۳۰/۳	۱۰/۱	۱۷/۲	۱۱/۰	۷/۰	۳۰/۰
اکتبر	۳۱	۱۵	۲۴/۲	۳/۷	۱۶/۱	۸/۶	۶/۵	۳۵/۰
نوامبر	۳۰	۱۴	۱۷/۱	۲/۲	۱۰/۰	۵۲/۵	۹/۵	۸/۱
دسامبر	۳۱	۱۰	۱۱/۱	۰/۳	۵/۳	۸۷/۶	۱۸/۳	۵/۶

طول جغرافیایی: 41° 51'  
ارتفاع از سطح دریا: 1880 متر

ماه	تعداد روزهای بارانی	تعداد کل روزها	ساعات آفتابی کل (h)	ساعات متوسط آفتابی (h)	طول روز (h)	ساعات آفتابی به طول روز	ضریب ابر متوسط	فشار متوسط (Kpa)
ژانویه	۵/۷۵	۵۷۱/۰	۶۱۱/۸۸۱	۵۵/۵	۸۸/۰۱	۳۵/۰	۶۴/۰	۸۷/۱۷
فوریه	۵/۱۲۵	۳۵۴/۰	۶۶/۸۸۱	۵۲/۶	۶۹/۰۱	۶۸/۵/۰	۱۸۳/۰	۸۷/۱۷
مارس	۸/۲۵	۷۸۸/۰	۲۱۱/۰۲	۶۳/۶	۰/۷۱۱	۵۵/۰	۵۳/۰	۸۷/۱۷
آوریل	۵	۸۶۱/۰	۶۸۱/۶۶۱	۸۸/۸	۸۸/۶۱	۸۰/۰	۱۶۴/۰	۳۶/۱۷
مه	۵/۸۱	۶۵۰/۰	۸۸۱/۰۳	۸۸/۶	۳۵/۶۱	۷۸/۰	۱۷۶/۰	۳۶/۱۷
ژوئن	۵/۱۱/۰	۳۰۰/۰	۵/۵۰۴	۷۶/۱۱	۶۹/۶۱	۸۶/۰	۱۱۶/۰	۱۱/۱۷
جولای	۰	۰	۳۶/۶۶۱	۳۶/۰۱	۷۸/۶۱	۳۶۸/۰	۶۰/۰	۱۳/۱۷
آگوست	۰	۰	۱۸/۶۶۱	۶۶/۰۱	۷۰/۶۱	۸۱۷/۰	۷۷/۰	۱۶/۱۷
سپتامبر	۵/۲۱/۰	۳۰۰/۰	۱۸/۸۰۴	۳۶/۰۱	۷۸/۶۱	۱۳۷/۰	۶۵/۰	۳۶/۱۷
اکتبر	۵/۸۱/۱	۳۳۰/۰	۸۳/۳۸۱	۵۷/۷	۶۸/۶۱	۱۷۸/۰	۳۱۸/۰	۶۶/۱۷
نوامبر	۵/۶۱/۴	۱۸۱/۰	۳۶/۵۰۶	۳۷/۶	۵۳/۰۱	۳۵۶/۰	۶۳۴/۰	۷۸/۱۷
دسامبر	۵/۸۱/۸	۳۵۴/۰	۸۸/۶۷۱	۲۰/۶	۳۰/۰۱	۶/۰	۳/۰	۳۷/۱۷

تخمین مقدار کل انرژی تابشی ... / محمود یعقوبی و ...

نشریه انرژی ایرانسال هشتم / شماره ۸۶ / بهمن ۱۳۸۱

جدول ۴ - مقدار انرژی تابشی خورشیدی پیش شده برای شهر یاسوج بر اساس مدل‌های مختلف (MJ/m<sup>2</sup>/day) ارتفاع از سطح دریا: ۱۸۸۰ متر عرض جغرافیایی: 30° 50'

Goldberg [11]	Glover [17]	Eq.36 [10]	Eq.34 [10]	Daneshyar [5]	Ashjaee [7]	مدل ماه
۱۴/۴۳	۱۰/۹	۱۳/۹۹	۱۱/۳۹	۱۰/۸۷	۱۴/۶۵	ژانویه
۱۵/۹۴	۱۳/۹۶	۱۸/۰۲	۱۵/۰۷	۱۳/۵۹	۱۷/۵۲	فوریه
۱۷/۵۶	۱۶/۵۲	۲۲/۸	۱۸/۵۵	۱۶/۵۷	۲۰/۸۷	مارس
۲۵/۳۷	۲۰/۴۳	۲۷/۲۹	۲۳/۳۶	۲۰/۸۴	۲۳/۲۲	آوریل
۲۹/۸۷	۲۴/۷۳	۳۰/۱۴	۲۷/۵۷	۲۵/۶۰	۲۵/۰۶	مه
۳۱/۴۳	۲۸/۱۷	۳۱/۸۸	۳۰/۶۲	۲۹/۳۵	۲۵/۸۱	ژوئن
۳۰/۷۰	۳۶/۷۵	۳۰/۶۳	۲۹/۳۳	۲۷/۹۲	۲۳/۹۳	جولای
۳۷/۳۷	۲۵/۴۳	۲۸/۴۲	۳۷/۵	۳۶/۰۵	۲۲/۳۷	اگوست
۲۰/۶۷	۲۲/۸۷	۲۴/۵۱	۲۴/۱۳	۳۲/۸۷	۱۹/۹۴	سپتامبر
۱۶/۲۳	۱۷/۹۷	۱۹/۵۵	۱۸/۷۳	۱۷/۴۱	۱۷/۰۸	اکتبر
۱۴/۹	۱۲/۹	۱۵/۰۳	۱۲/۹۹	۱۲/۳۹	۱۴/۰۵	نوامبر
۱۴/۲۱	۱۰/۸۰	۱۳/۸۶	۱۰/۹۱	۱۰/۳۸	۱۲/۴۴	دسامبر

ادامه جدول ۴ - مقدار انرژی تابشی خورشیدی پیش شده برای شهر یاسوج بر اساس مدل‌های مختلف (MJ/m<sup>2</sup>/day)  
 ارتفاع از سطح دریاں : ۱۸۸۰ متر  
 عرض جغرافیایی : 30° 50'

Y.J [10]	Sabbagh [14]	Rietveld [16]	Onyango [15]	K.J [18]	Hottel [9]	Gopinathan [18]	مدل ماه
۱۰/۸۶	۱۲/۷۴	۱۰/۸۲	۱۲/۷۹	۱۰/۹۹	۱۴/۵۸	۱۱/۲۱	ژانویه
۱۳/۹۱	۱۴/۸۶	۱۳/۸۲	۱۵/۱۴	۱۳/۵۳	۱۸/۵۰	۱۴/۱۶	فوریه
۱۶/۴۶	۱۵/۶۳	۱۶/۲۸	۱۷/۵۳	۱۶/۵۳	۲۳/۱۳	۱۶/۹۳	مارس
۲۰/۳۶	۱۸/۴۲	۲۰/۳۱	۲۱/۳۴	۱۹/۵۰	۲۷/۵۳	۲۰/۵۲	آوریل
۲۴/۶۵	۲۲/۲۶	۲۴/۹۵	۲۵/۸۶	۲۱/۴۵	۳۰/۳۴	۲۴/۰۰	مه
۲۸/۱۰	۲۶/۱۶	۲۸/۷۶	۲۹/۵۹	۲۲/۲۵	۳۱/۳۹	۲۶/۵۱	ژوئن
۳۶/۶۸	۳۷/۰۰	۳۷/۲۳	۳۸/۲۴	۲۱/۹۳	۳۰/۸۵	۲۵/۴۵	جولای
۴۵/۲۷	۳۶/۳۵	۴۵/۸۳	۴۵/۸۳	۲۰/۶۴	۲۸/۶۵	۲۳/۹۹	اگوست
۲۲/۷۱	۴۵/۸۵	۳۳/۲۸	۲۲/۶۶	۱۹/۸۱	۲۴/۷۳	۲۱/۴۱	سپتامبر
۱۷/۹۲	۱۹/۳۸	۱۸/۲۸	۱۸/۵۷	۱۸/۳۱	۱۶/۹۱	۱۷/۸۱	اکتبر
۱۲/۷۱	۱۴/۷۹	۱۲/۹۱	۱۸/۴۱	۱۵/۱۱	۱۵/۶۰	۱۲/۸۶	نوامبر
۱۰/۷۷	۱۲/۵۴	۱۰/۸۳	۱۲/۹۴	۱۰/۲۵	۱۳/۴۸	۱۰/۸۸	دسامبر

جدول ۵- مقدار بدست آمده ضریب صافی آسمان برای شهر یاسوج براساس مدل‌های مختلف

مدل	Ashjaee	Daneshyar	Eq.34	Eq.36	Glover	Goldberg
ماه	[7]	[5]	[10]	[10]	[17]	[11]
ژانویه	۰/۷۰۴	۱۵/۰	۰/۵۴۷	۷۷/۰	۰/۲۲۳	۰/۶۹۳
فوریه	۰/۷۸۳	۳۵/۰	۰/۵۸۸	۳۰/۰	۳۴۴	۰/۲۲۲
مارس	۰/۶۶۰	۰/۵۳۰	۰/۵۹۴	۰/۳۸۰	۶۵۲	۰/۶۶۲
آوریل	۰/۶۳۶	۱۵/۰	۰/۶۳۷	۷۴/۰	۵۵۰	۰/۶۹۲
مه	۰/۷۲۶	۱۴/۰	۱۶/۰	۰/۵۵۰	۰/۶۲۰	۰/۷۴۸
ژوئن	۰/۶۲۶	۱۲/۰	۰/۷۴۳	۵۷/۰	۳۷۴	۰/۶۶۳
جولای	۰/۵۹۱	۶۷/۰	۳۴/۰	۶۵/۰	۰/۶۰۰	۰/۷۵۸
آگوست	۰/۵۹۲	۶۷/۰	۸۸/۰	۰/۷۵۲	۰/۶۰۰	۰/۷۴۴
سپتامبر	۰/۶۰۰	۶۷/۰	۸۸/۰	۷۳/۰	۶۷/۰	۰/۸۱۶
اکتبر	۰/۶۲۵	۸۶/۰	۱۷/۰	۵۱/۰	۸۵/۰	۰/۶۵۰
نوامبر	۰/۶۳۷	۶۵/۰	۶۷/۰	۳۷/۰	۵۵/۰	۰/۶۷۶
دسامبر	۰/۶۴۰	۳۴/۰	۱۶/۰	۱۶/۰	۵۵/۰	۰/۸۳۱

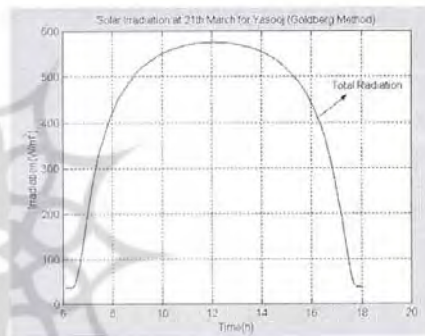
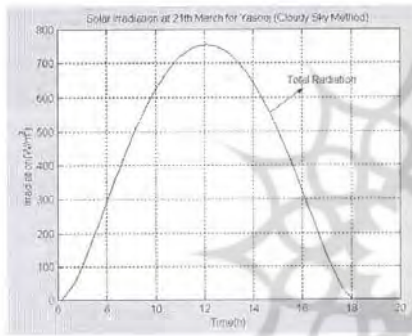
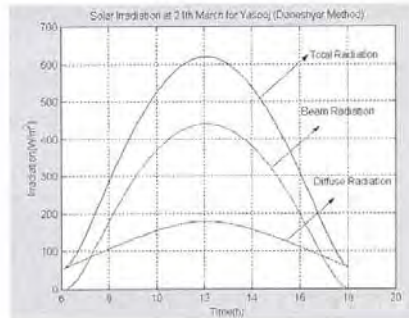
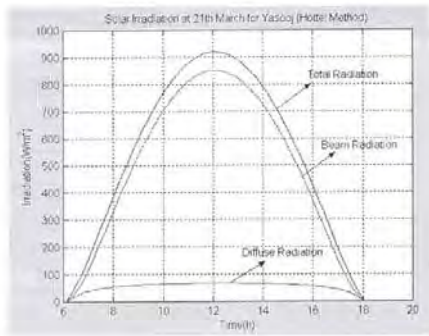
ادامه جدول ۵ - مقدار بدست آمده ضریب صافی آسمان برای شهر یاسوج بر اساس مدل‌های مختلف

Y.J [10]	Sabbagh [14]	Rietveld [16]	Onyango [15]	K.J [18]	Hottel [9]	Gopinathan [18]	مدل ماه
۰/۰۲۲	۰/۰۱۲	۰/۰۱۵	۰/۰۱۴	۰/۰۲۸	۰/۰۰۰	۰/۰۲۸	ژانویه
۰/۰۴۲	۰/۰۵۲	۰/۰۳۹	۰/۰۹۰	۰/۰۲۸	۰/۰۲۲	۰/۰۵۲	فوریه
۰/۰۲۷	۰/۰۰۰	۰/۰۲۱	۰/۰۶۱	۰/۰۲۹	۰/۰۴۰	۰/۰۴۲	مارس
۰/۰۵۸	۰/۰۰۴	۰/۰۵۶	۰/۰۸۴	۰/۰۳۴	۰/۰۷۴	۰/۰۶۲	آوریل
۰/۰۱۷	۰/۰۵۸	۰/۰۲۵	۰/۰۶۴	۰/۰۳۷	۰/۰۷۰	۰/۰۰۱	مه
۰/۰۸۲	۰/۰۳۵	۰/۰۶۹	۰/۰۸۸	۰/۰۴۰	۰/۰۷۲	۰/۰۴۳	ژوئن
۰/۰۲۴	۰/۰۶۰	۰/۰۲۸	۰/۰۹۷	۰/۰۴۱	۰/۰۶۲	۰/۰۲۸	جولای
۰/۰۶۸	۰/۰۹۷	۰/۰۷۳	۰/۰۸۱	۰/۰۴۱	۰/۰۵۸	۰/۰۳۵	آگوست
۰/۰۸۴	۰/۰۷۹	۰/۰۰۱	۰/۰۸۱	۰/۰۳۲	۰/۰۴۸	۰/۰۴۵	سپتامبر
۰/۰۶۰	۰/۰۰۰	۰/۰۶۶	۰/۰۸۰	۰/۰۲۸	۰/۰۳۱	۰/۰۲۶	اکتبر
۰/۰۵۳	۰/۰۷۵	۰/۰۸۵	۰/۰۶۷	۰/۰۳۲	۰/۰۰۷	۰/۰۷۹	نوامبر
۰/۰۵۴	۰/۰۴۵	۰/۰۵۲	۰/۰۶۶	۰/۰۲۷	۰/۰۶۳	۰/۰۶۰	دسامبر

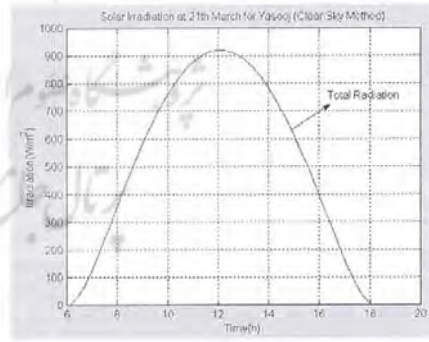
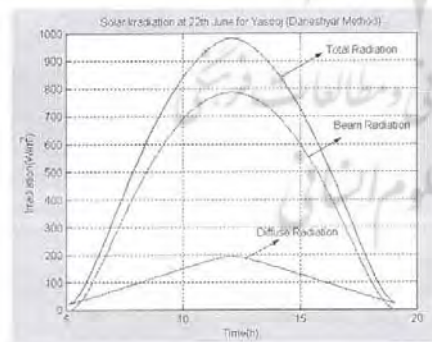
جدول ۶ - مقادیر متوسط ضریب صافی آسمان در طول سال هفت مدل انتخاب شده

Sabbagh [14]	Onyango [15]	K.J. [18]	Hottel [9]	Gopinathan [18]	Daneshyar [5]	Ashjaee [7]	مدل ضریب ابر متوسط سالانه
۰/۰۲۶	۰/۰۴۹	۰/۰۳۴	۰/۰۳۶	۰/۰۴۵	۰/۰۰۸	۰/۰۳۶	

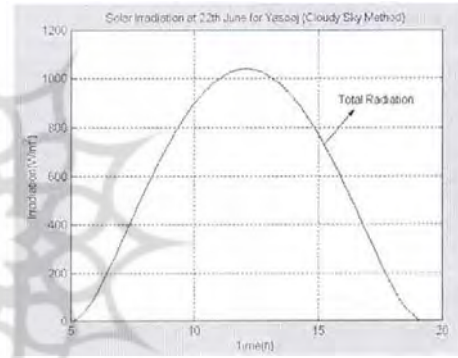
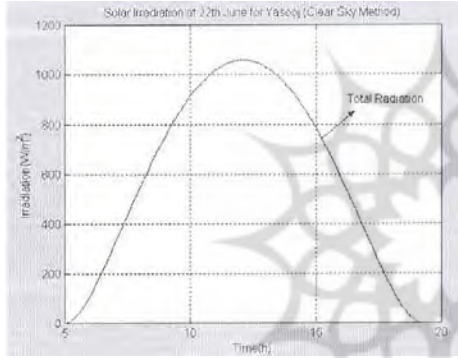
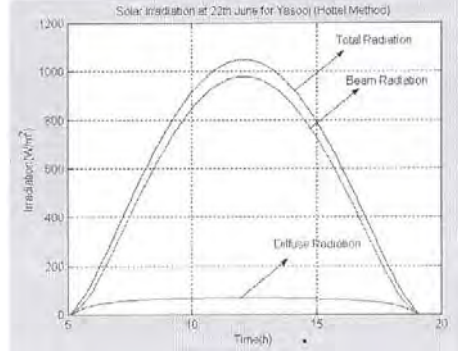
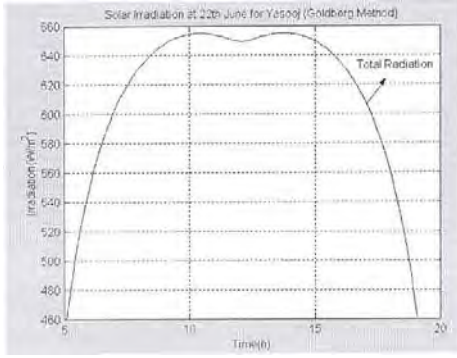




( )

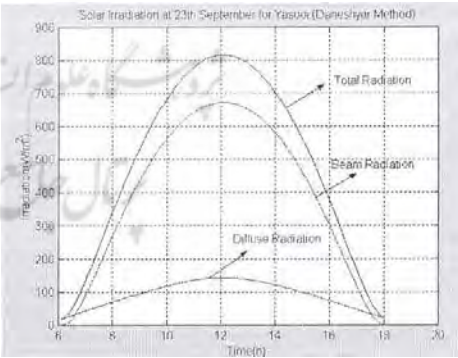
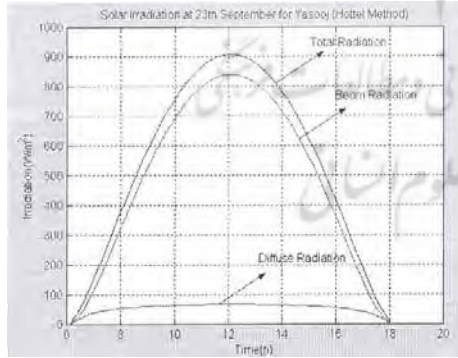


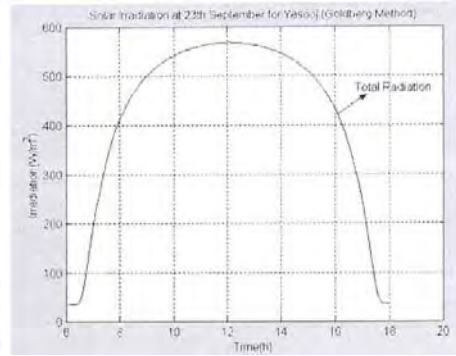
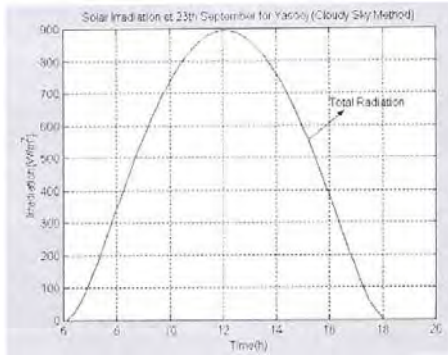
( )



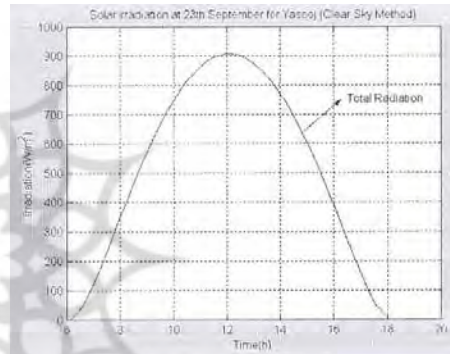
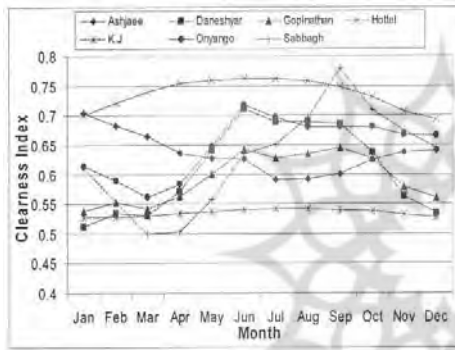
( )

( )

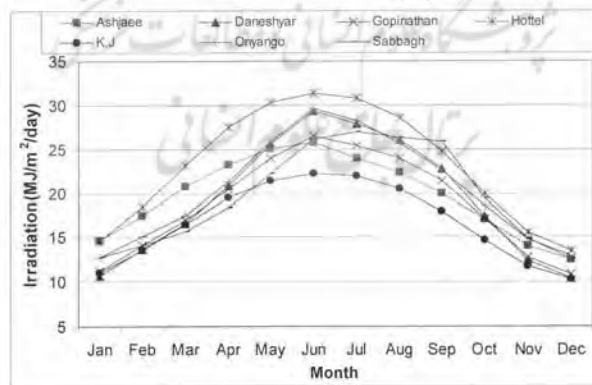




( )



( )



( )

- 1- Zahedi, Renewable Sources of Energy and Renewable Energy Technologies, Proc. Of 17th International Power System Conference, Vol. 2, p. 61, Tehran, Iran, Oct. 2002.
- 2- S. Yannas, "Toward More Sustainable Cities", Solar Energy, Vol. 70, pp. 281-294, 2001.
- 3- M. Santamouris, "Solar Energy In The Urban Environment", Solar Energy, Vol. 70, pp. 175-176, 2001.
- 4- H. Broesmele, H. Mannstein, C. Schillings and F. Trieb, "Assessment of Solar Electricity Potentials In North Africa Based on Satellite Data and Geometrical Information System", Solar Energy, Vol. 70, pp. 1-12, 2001.
- 5- M. Daneshyar, "Solar Radiation Statistics for Iran", Solar Energy, Vol. 21, pp. 345-349, 1978.
- 6- R. Bird and R. L. Hulstrom, A Simplified Clear Sky Model for Direct and Diffuse Insolation on Horizontal Surface, U.S. Solar Energy Research Institute (SERI), Technical Report TR-642-761, Golden Co. 1981.
- 7- M. Ashjaee, M. Roomina, and R. Ghafouri-Azar, "Estimating Direct, and Global Solar Radiation for Various Cities in Iran by Two Methods and Their Comparison with Measured Data", Solar Energy, Vol. 50, pp. 441-446, 1993.
- 8- K. Azizian, M. Yaghoubi, A. Kenary, Design Experiences of the First Solar Parabolic Thermal Power Plant for Various regions in Iran, Iranian Journal of Energy, Vol. 6, No. 12, 2002.
- 9- H. Hottel, "A Simple Model for Estimating the Transmittance of Direct Solar Radiation Through Clear Atmospheres", Solar Energy, Vol. 18, pp. 129-134, 1976.
- 10- M.A.Yaghubi, and K. Jafarpur, "Global Solar Radiation in Fars Province, Iran", Iranian Journal of Science & Technology, Vol. 14, No. 1.
- 11- B. Golberg, W.H. Klein and R. D. Mc Cartney, "A Comparison of Some Simple Models Used to Predict Solar Irradiance on A Horizontal Surface", Solar Energy, Vol. 23, pp. 81-83, 1979.

- 12- J. A. Duffie, and W. A. Beckman, Solar Engineering of Thermal Processes, John Wiley & Sons, 1991.
- 13- S. Jeevanda Reddy, "An Emperical method for the Estimation of Total Solar Radiation", Solar Energy, Vol. 13, pp. 289-290, 1971.
- 14- J. A. Sabbagh, A. A. M. Sayigh and E. M. A. El-Salam, "Estimation of the Total Solar Radiation from Metological Data" Solar Energy, Vol. 19, pp. 307-311, 1977.
- 15- Frederrick N. Onyango, "On the Estimation of Global Solar Insolation", Solar Energy, Vol. 31, pp. 69-71, 1983.
- 16- N. Halouani, C.T. Nguyen and D. Vo-Ngoc, "Calculation of Monthly Average Global Solar Radiation on Horrizental Surfaces Using Daily Hours of Bright Sunshine", Solar Energy, Vol. 50, pp. 247-258, 1993.
- 17- J. Glover, and McCulloch, J.S.G., The Emperical Relation Between Radiation and Hours of Sunshine, Q.J. of R.M.S., Vol. 84, pp. 172-178, 1958.

«

» .

